

第二次技术文档

刘畅 15061183

2018 年 4 月 30 日

1 程序说明

使用语言： JAVA

编程环境： Windows 8.1 + Eclipse Neon.3 Release (4.6.3)

相关库：

java.awt
java.io
java.util
javax.imageio

主要方法：

方法名	作用
double[][] DCTProcessor::CosineTransformation(String outputLabel) ..	离散余弦变换DCT
FourierComplex[][] FFTProcessor::fourierTransformation(String outputlabel) ..	快速傅里叶变换FFT
BufferedImage FFTProcessor::fourierInverse(String outputLabel, FourierComplex[][] sigs) ..	快速傅里叶逆变换IFFT
FourierComplex[][] FrequencyFilter::filter(FourierComplex[][] sigs, int radius, int mode) ..	高\低频滤波，sigs为原信号，radius为滤波范围，mode值取0或1表示滤波类型

2 任务一：快速傅里叶变换FFT

2.1 一阶FFT

根据DFT，设原离散信号为 x ，转变后的信号为 X ，信号的长度为 N ，则有

$$X(k) = \sum_{n=0}^{N-1} x(n)e^{-j\frac{2\pi k}{N}n}, \quad k = 0, 1, \dots, N-1$$

假定 $N \geq 2$ ，令 $W_N^l = e^{-j\frac{2\pi l}{N}}$ ，则上公式可以表示成

$$X(k) = \sum_{n=0}^{N-1} x(n)W_N^{nk}$$

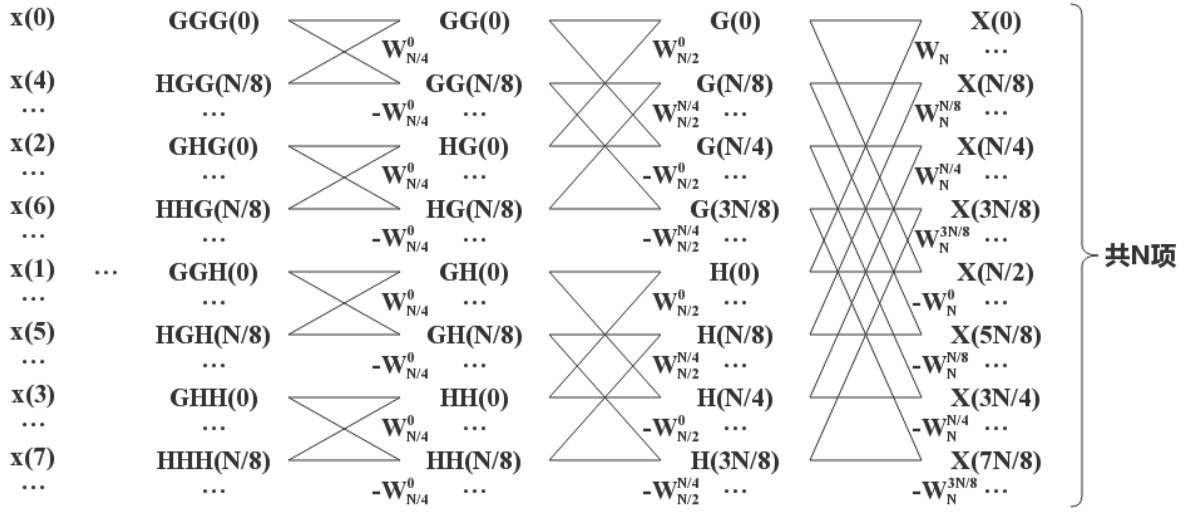


图 1: FFT蝶形结构

将上公式进行奇偶拆分，用 $2r$ 表示偶数， $2r+1$ 表示奇数， $r=0,1,\dots,N/2-1$ ，则有

$$X(k) = \sum_{r=0}^{N/2-1} x(2r)W_{N/2}^{rk} + W_N^k \sum_{r=0}^{N/2-1} x(2r+1)W_{N/2}^{rk}$$

令 $G(k) = \sum_{r=0}^{N/2-1} x(2r)W_{N/2}^{rk}$ ， $H(k) = \sum_{r=0}^{N/2-1} x(2r+1)W_{N/2}^{rk}$ ，则

$$X(k) = G(k) + W_N^k H(k)$$

由于 $G(k)$ 与 $H(k)$ 周期皆为 $N/2$ ，因此有

$$X(k) = \begin{cases} G(k) + W_N^k H(k) & , 0 \leq k < N/2 \\ G(k - N/2) - W_N^{k-N/2} H(k - N/2) & , N/2 \leq k < N \end{cases}$$

以 $G(k)$ 为例，假定 $N \geq 4$ ，同样可以进行类似的拆分，转化为由 $GG(k)$ 和 $GH(k)$ 组成的表达式

$$\begin{aligned} G(k) &= \sum_{r=0}^{N/4-1} x(4r)W_{N/4}^{rk} + \sum_{r=0}^{N/4-1} x(4r+2)W_{N/4}^{rk} \\ &= GG(k) + W_{N/2}^{rk} GH(k) \\ &= \begin{cases} GG(k) + W_{N/2}^{rk} GH(k) & , 0 \leq k < N/4 \\ GG(k - N/4) - W_{N/2}^{k-N/4} GH(k - N/4) & , N/4 \leq k < N/2 \end{cases} \end{aligned}$$

以此类推，通过不断的奇偶拆分，最终可以形成由 x 至 X 的蝶形结构，如图1所示，这里假定 $N \geq 8$ ：

2.2 图像FFT

由于需要处理的图像是一种二维数字信号，因此上述FFT算法需要扩展到二维。这里采用的方法是将图像看成一个二维矩阵，首先对各行进行FFT处理，之后再对各列进行FFT处理，这样就将一维FFT扩展到了

二维。而且需要注意的是，FFT算法能够进行的前提是信号长度 N 为2的正整数幂，因此图像需要进行周期延拓，最终处理后矩阵长、宽皆变为2的正整数幂。

2.3 生成频域图像

处理后的矩阵为复数矩阵，根据以下公式求出幅度谱 $|F(u, v)|$ 和相位谱 $\phi(u, v)$:

$$|F(u, v)| = \sqrt{R^2(u, v) + I^2(u, v)}$$

$$\phi(u, v) = \tan^{-1} \frac{I(u, v)}{R(u, v)}$$

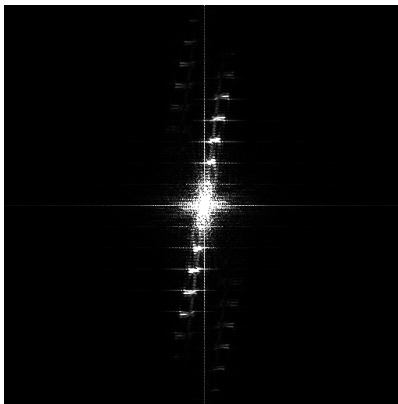
计算后矩阵上各个元素的幅度差异较大，存在少量高幅信号和大量低幅信号，若将幅度线性映射至灰度，生成的幅度谱信息量较少。为解决该问题，同时保证滤波后频谱图像效果的一致性，这里对幅度设定了阈值 T ，对于大于 T 的幅度，其映射后的灰度为255；对于小于 T 的，部分在 $[0, 255]$ 范围内做线性映射，这里用 $f(u, v)$ 表示灰度，假设最低幅度为 F_{\min} ，最高幅度为 F_{\max} ，则有

$$f(u, v) = \begin{cases} \frac{255(|F(u, v)| - F_{\min})}{\min\{F_{\max}, T\} - F_{\min}} & , |F(u, v)| \leq T \\ 255 & , |F(u, v)| > t \end{cases}$$

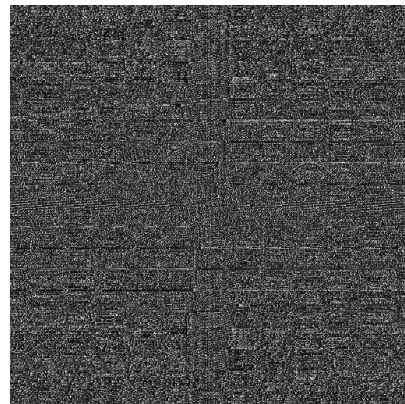
在不对相位谱进行平移的情况下，亮点主要集中于四角，为了便于观察，需要将亮点移动至图像中心。



(a) 原图



(b) 幅度谱



(c) 相位谱

图 2: 某24岁学生FFT变换后效果

2.4 逆变换IFFT

离散傅里叶反变换IDFT公式为：

$$x(n) = \frac{1}{N} \sum_{k=0}^{N-1} X(k) e^{j \frac{2\pi k}{N} n}$$

与DFT不同的是IDFT需要额外乘以常量 $\frac{e^{-1}}{N}$ ，因此对于IFFT可以复用上述蝶形求解方式，无需额外实现。

由于逆变换前的矩阵为延拓后的结果，因此需要根据图像实际大小，对逆变换后的结果进行截取。同时，理论上逆变换后矩阵的元素应为实数，但由于在浮点数计算的过程中存在精度丢失的情况，可能会导致元素虚部不为0，或者实部大小不在 $[0, 255]$ 范围内，此时应当将实部线性压缩，保证灰度的合法性。

2.5 滤波

对于平移后的频谱，设图像中央为原点，截止频率 D_0 ，则理想低通滤波器转移函数为：

$$H(u, v) = \begin{cases} 1 & , \sqrt{u^2 + v^2} < D_0 \\ 0 & , \sqrt{u^2 + v^2} \geq D_0 \end{cases}$$

理想高通滤波器转移函数为：

$$H(u, v) = \begin{cases} 0 & , \sqrt{u^2 + v^2} < D_0 \\ 1 & , \sqrt{u^2 + v^2} \geq D_0 \end{cases}$$

3 任务二：离散余弦变换DCT

3.1 一维DCT

设 $k = 1, 2, \dots, N - 1$ 一维DCT定义如下：

$$X(k) = C(k) \sqrt{\frac{2}{N}} \sum_{n=0}^{N-1} \cos \frac{(2n+1)k\pi}{2N}, \quad C(k) = \begin{cases} \frac{1}{\sqrt{2}} & , u = 0 \\ 1 & , \text{other} \end{cases}$$

3.2 图像DCT

同FFT一样，二维DCT同样可以通过横纵两次一维DCT来完成，和FFT不同的是无需对信号进行延拓，且结果为实数，因此最终得到的是一个和原信号大小相同的实数矩阵。最终的结果主要信息集中在画面的左上角，为了显示更多信息，这里同样设置了一个阈值 T ，采用和FFT同样的方法进行从信号到灰度的线性映射。



(a) 原图

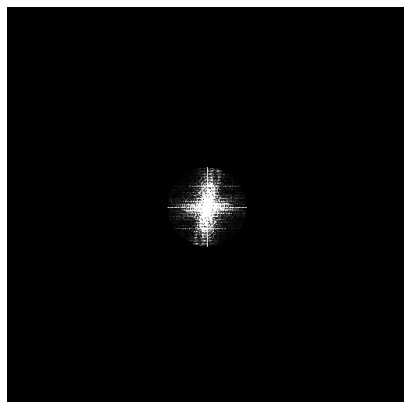
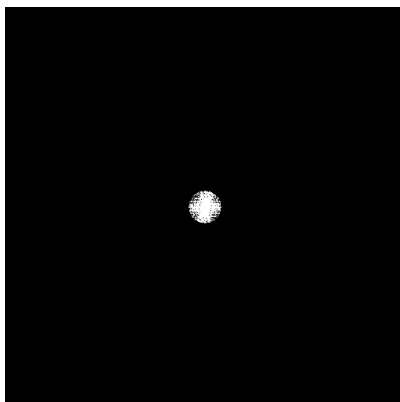
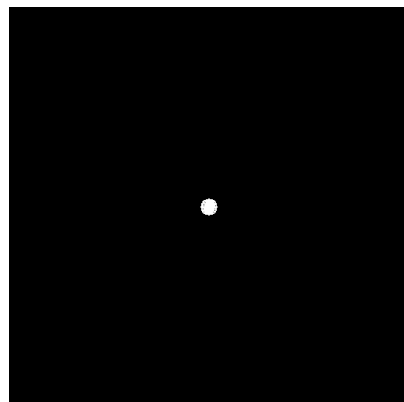
(b) $D_0 = 50$ 图像(c) $D_0 = 20$ 图像(d) $D_0 = 10$ 图像(e) $D_0 = 50$ 幅度谱(f) $D_0 = 20$ 幅度谱(g) $D_0 = 10$ 幅度谱

图 3: 低通滤波后效果



(a) 原图

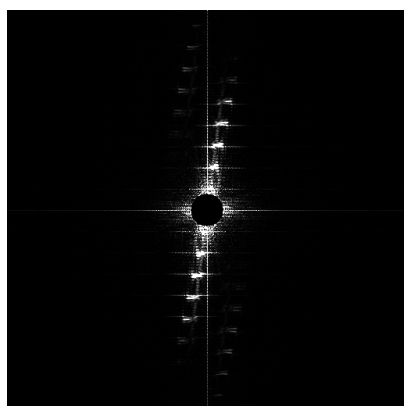
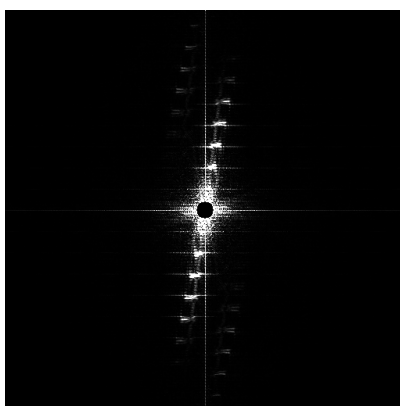
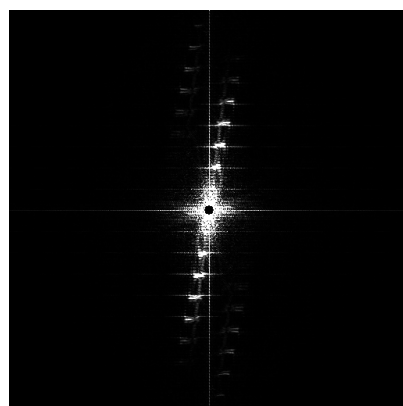
(b) $D_0 = 20$ 图像(c) $D_0 = 10$ 图像(d) $D_0 = 5$ 图像(e) $D_0 = 20$ 幅度谱(f) $D_0 = 10$ 幅度谱(g) $D_0 = 5$ 幅度谱

图 4: 高通滤波后效果



(a) 原图



(b) DCT频域图

图 5: DCT变换后效果